

других иодидов, для которых частотный параметр структуры существенно превосходит предельные частоты кристаллических фононов, можно предположить, что образование квазимолекулы при автолокализации экситона [10] ведет к возникновению локального колебания, кванты которого и проявляются в спектре. Поскольку частота этого колебания определяется в основном галоидом, близость частотных параметров структуры иодидов [1-3] говорит в пользу этого предположения.

Отметим в заключение, что близкую к изображенной форму спектров можно получить и при некоторых других значениях параметров  $B$  и  $S$  из указанных интервалов (см., например, рис. 6 в [5]).

Я признателен А. А. О'Коннель-Бронину за обсуждение экспериментальных результатов и Г. С. Завту за предоставление программы расчета оптических констант по методу Крамерса—Кронига.

### Список литературы

- [1] Baldini G., Bosacchi A., Bosacchi B. // Phys. Rev. Lett. 1969. V. 23. N 15. P. 846—848; Baldini G., Bosacchi B. // Proc. X European Congress Molec. Spectr. 1970. P. 305—324; Miyata T. // J. Phys. Soc. Jap. 1971. V. 31. N 2. P. 529—551.
- [2] О'Коннель-Бронин А. А. // ФТТ. 1984. Т. 26. № 9. С. 2603—2610.
- [3] Nishimura H., Saka Y., Nagata S., Hashimoto S., Okada T., Komatsu T. // J. Phys. Soc. Jap. 1987. V. 56. N 10. P. 3715—3725.
- [4] Sumi H. // J. Phys. Soc. Jap. 1974. V. 36. N 3. P. 770—779; 1975. V. 38. N 3. P. 825—835.
- [5] Sherman A. V. // Phys. St. Sol. B. 1988. V. 145. N 1. P. 319—332.
- [6] Hizhnyakov V. V., Sherman A. V. // Czech. J. Phys. B. 1982. V. 32. N 1. P. 58—68.
- [7] Sumi H., Toyozawa Y. // J. Phys. Soc. Jap. 1971. V. 31. N 2. P. 342—358.
- [8] Kunz A. B. // Phys. Rev. 1969. V. 180. N 3. P. 934—941.
- [9] Sherman A. V. // J. Phys. A. 1987. V. 20. N 3. P. 569—576.
- [10] Лущик Ч. Б. Экситоны. М., 1985. С. 362—384.

Институт физики АН ЭССР  
Тарту

Поступило в Редакцию  
17 апреля 1989 г.

УДК 537.226

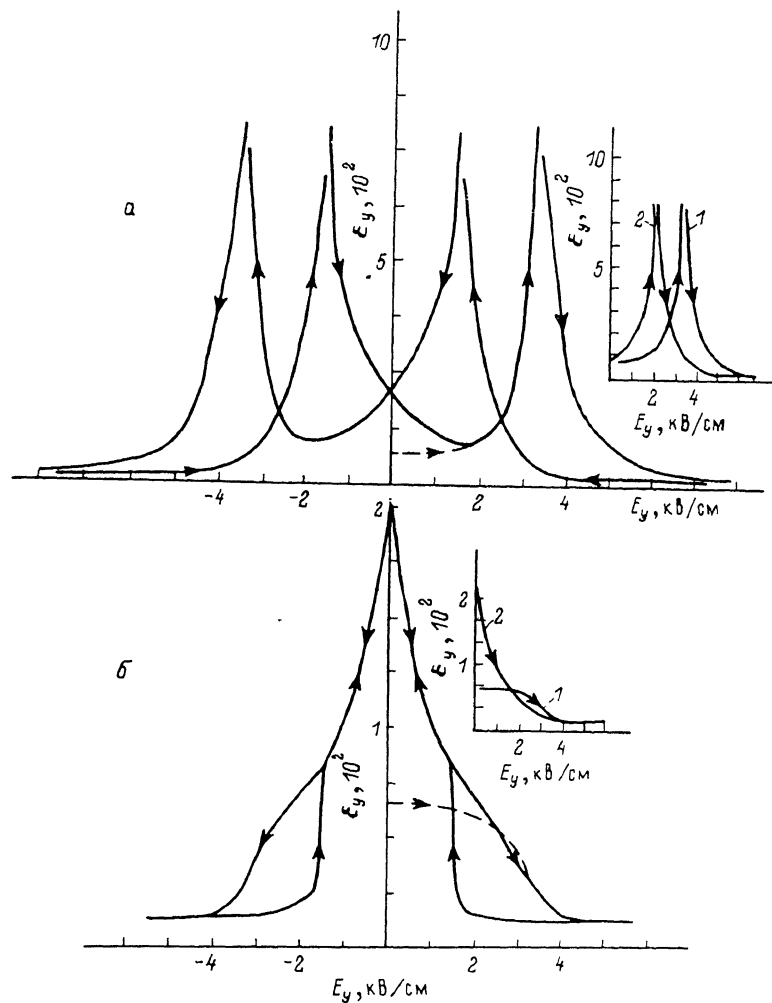
Физика твердого тела, том 31, в. 9, 1989  
*Solid State Physics, vol. 21, N 9, 1989*

## ДИЭЛЕКТРИЧЕСКАЯ ПРОНИЦАЕМОСТЬ СЕГНЕТОЭЛЕКТРИКА $Rb_2ZnCl_4$ В ПОСТОЯННОМ ЭЛЕКТРИЧЕСКОМ ПОЛЕ В ОБЛАСТИ НЕСОРАЗМЕРНОЙ ФАЗЫ

*B. B. Гладкий, B. A. Кириков, C. K. Гупта,  
I. Э. Липиньски, E. C. Иванова*

Эффекты последействия (памяти) в области несоразмерной фазы (Н-фазы) сегнетоэлектрика, существенно отличающие ее от обычных (соразмерных) фаз, обусловлены переходом кристалла после некоторых однократных внешних воздействий (тепловых, электрических, механических) в новые метастабильные состояния, являющиеся результатом «закрепления» изменившейся солитонной структуры на неоднородностях решетки<sup>[1, 2]</sup>. Существенно, что внешние воздействия активно изменяют плотность солитонов  $n_s$  и свойства кристалла до тех пор, пока это изменение идет в одном направлении (с повышением или понижением  $n_s$ ). Если же воздействие стремится изменить знак приращения  $\Delta n_s$ , солитонная структура «сопротивляется» перестройке и кристалл длительное время остается в прежнем состоянии<sup>[2]</sup>. Анализ экспериментальных результатов<sup>[2]</sup> показывает, что, по-видимому, причиной различной реакции кристалла в этих двух случаях является различная степень неравновесности состоя-

ний кристалла, создаваемая внешними воздействиями. В первом случае внешнее воздействие усиливает неравновесность, скорость изменения  $n_s$  со временем велика и легко регистрируется экспериментально. Во втором случае воздействие, наоборот, уменьшает неравновесность, скорость изменения  $n_s$  резко уменьшается и величина  $n_s$  длительное время практически остается постоянной.



Зависимость статической (а) и динамической (б) диэлектрической проницаемости  $\epsilon_y$  кристаллов  $\text{Rb}_2\text{ZnCl}_4$  от поляризующего постоянного поля  $E_y$  в области несоразмерной фазы.  $\Delta T = T - T_c = 1.8$ ,  $T_c = 194$  К.

На вставках —  $\epsilon_y$  как функция  $E_y$  при  $\Delta T = T - T_c = 1.8$  (1) и 1.26 К (2).

Эффекты памяти, наблюдаемые в реальных дефектных кристаллах, существенно видоизменяют их свойства по сравнению с ожидаемыми согласно феноменологической теории [3]. В данной работе приводятся результаты исследования зависимости диэлектрической проницаемости  $\epsilon_y$  от внешнего электрического поля  $E_y$  в области Н-фазы в различных режимах измерения.

Объект исследования — кристалл  $\text{Rb}_2\text{ZnCl}_4$ , претерпевающий структурный переход  $D_{2h} \rightarrow C_{2v}$  из Н-фазы в полярную фазу со спонтанной поляризацией  $P_s \parallel Y$  (в) при  $T_c = 194$  К. Образцы — пластины  $Y$ -среза кристалла размером  $3 \times 3 \times 0.6$  мм с электродами из электропроводящей пасты. Измерение  $\epsilon_y$  как функции  $E_y$  проводилось на одних и тех же образцах как в статических, так и в переменных электрических полях

~1 В/см соответственно электрометрическим методом и обычным мостовым методом на частоте 1 кГц. В первом случае на кристалл подавалось измерительное напряжение как положительного, так и отрицательного знака, т. е. таким образом суммарное статическое поле  $E_y \pm E_y^{\text{изм}}$  на образце соответственно увеличивалось или уменьшалось. Измерение  $\epsilon_y$  проводилось после остановки процесса изменения поляризации в поле  $E_y$  (~10 мин).

Основные результаты исследования сводятся к следующим. Наиболее ярко выраженные и специфические для Н-фазы нелинейные зависимости  $\epsilon_y$  от  $E_y$  проявляются при использовании добавочного малого измерительного поля  $E_y^{\text{изм}} \sim 1$  В/см, знак которого совпадает со знаком изменения постоянного поляризующего поля  $\Delta E_y$ . На рисунке, а приведена такая зависимость  $\epsilon_y$  от  $E_y$ , измеренная при циклическом изменении  $E_y$  после охлаждения кристалла до заданной температуры. Знак  $E_y^{\text{изм}}$  выбирался таким образом, чтобы на ветвях кривой, где  $\Delta E_y > 0$  и  $E_y^{\text{изм}} > 0$ , а где  $\Delta E_y < 0$ , также  $E_y^{\text{изм}} < 0$ . Ошибка измерения  $\epsilon_y$  в этом случае составляла ~10 %. Видно, что кривая  $\epsilon_y(E_y)$  имеет характерные максимумы  $\epsilon_y$ , отмечающие переход кристалла в поле  $E_y$  в соразмерную полярную фазу. Нетрудно проверить, что вид зависимости качественно согласуется с теоретической [3], которая получена на основании анализа термодинамического потенциала идеального кристалла, автоматически учитывающего изменение плотности солитонов  $n_s$  в измерительном поле  $E_y^{\text{изм}}$ . Существенно, что такая отвечающая теории форма зависимости  $\epsilon_y(E_y)$  воспроизводится только при первом (однократном) приложении измерительного поля  $E_y^{\text{изм}}$  (в заданном  $E_y$ ), имеющего обязательно тот же знак, что и изменение  $\Delta E_y$ . Из-за эффекта памяти [2], однако,  $E_y^{\text{изм}}$  противоположного знака, а также все последующие за первым циклы изменения  $E_y^{\text{изм}}$  (при периодическом изменении  $E_y^{\text{изм}}$ ) практически не успевают изменить величину  $n_s$ , вклад в поляризацию  $P_y$  и  $\epsilon_y$  образца становится меньше, а зависимости  $\epsilon_y$  от  $E_y$  принимают качественно другой вид.

В качестве примера на рисунке, б приводится зависимость  $\epsilon_y$  от  $E_y$ , полученная в переменном поле  $E_y^{\text{изм}}$  с частотой 1 кГц (см. также [4]). Видно, что  $\epsilon_y$  в отличие от данных рисунка, а не имеет максимумов и только уменьшается при увеличении поля  $E_y$ . Вывод о том, что изменившийся вид кривой  $\epsilon_y(E_y)$  в этом случае обусловлен постоянством плотности солитонов  $n_s$  в переменном поле, как это отмечено выше на основании экспериментальных фактов, следует также из теоретического рассмотрения [5] температурных зависимостей  $\epsilon_y$  Н-фазы сегнетоэлектрика, поляризованного постоянным электрическим полем. На вставках к рисунку показано, как изменяется первая четверть цикла зависимости  $\epsilon_y$  от  $E_y$  в случае статического (а) и переменного (б) поля с температурой.

Отметим, что значения  $\epsilon_y$ , приведенные на рисунке, а, начинают заметно уменьшаться, особенно в области максимумов  $\epsilon_y$  при увеличении времени выдержки кристалла до 30 мин и более в поле  $E_y$  перед измерением  $\epsilon_y$ . Причиной этого может быть диффузия неоднородностей решетки к границам квазидоменов (солитонам), понижающих подвижность солитонов в электрическом поле (эффект старения).

Приведенные здесь результаты измерений демонстрируют определяющее влияние специфической кинетики солитонной структуры. Н-фазы реального сегнетоэлектрика на его диэлектрические свойства.

#### Список литературы

- [1] Hamano K., Ikeda Y., Fujimoto T., Ema K., Hirotsu S. // J. Phys. Soc. Jap. 1980. V. 49. N 6. P. 2278—2286.

- [2] Gladkii V. V., Kirikov V. A., Zheludev I. S. // Ferroelectrics. 1988. V. 79. P. 577—580; Proc. 6th european meeting on ferroelectricity. Poznan, 1988. Pt II.  
[3] Prelovsek P. // J. Phys. C: Sol. St. Phys. 1983. V. 16. N 17. P. 3257—3265.  
[4] Sorge G., Maak H., Shuvalov L. A. // Phys. St. Sol. (a). 1986. V. 93. N 1. P. 315—320.  
[5] Holakovský J., Dvořák V. // J. Phys. C: Sol. St. Phys. 1988. V. 21. N 31. P. 5449—5454.

Институт кристаллографии АН СССР  
Москва

Поступило в Редакцию  
18 апреля 1989 г.

УДК 537.226

*Физика твердого тела, том 31, № 9, 1989*  
*Solid State Physics, vol. 31, N 9, 1989*

## ВЛИЯНИЕ ТУННЕЛИРОВАНИЯ НА СТРОЕНИЕ И ПОДВИЖНОСТЬ ДОМЕННЫХ ГРАНИЦ В СЕГНЕТОЭЛЕКТРИКАХ ТИПА ПОРЯДОК—БЕСПОРЯДОК

A. C. Сидоркин

Влияние туннелирования на строение доменных границ в сегнетоэлектрических кристаллах рассматривалось до сих пор либо в рамках вариационного подхода [1, 2], либо с помощью численных расчетов [3]. Очевидно, что указанные подходы страдают, с одной стороны, ограниченной достоверностью, а с другой — отсутствием наглядности и необходимостью изначального проведения всей схемы расчетов для каждого нового объекта.

В настоящей работе проводится аналитическое рассмотрение указанной задачи для сегнетоэлектриков с фазовым переходом типа порядок—беспорядок. Используя гамильтониан модели Изинга в поперечном поле, нетрудно видеть, что поверхностная плотность энергии доменной стенки в рамках приближения среднего поля, в котором усреднение проводится отдельно для каждой атомной плоскости, параллельной плотности доменной стенки, имеет следующий вид [3]:

$$\gamma = \frac{1}{S} \sum_n \left\{ \frac{J}{2} [Z_n S_n - Z_\infty S_\infty] - T \left[ \ln 2 \operatorname{ch} \left( \frac{J \sqrt{q^2 + S_n^2}}{T} \right) - \ln 2 \operatorname{ch} \left( \frac{J \sqrt{q^2 + S_\infty^2}}{T} \right) \right] \right\}, \quad (1)$$

$Z_n$  — среднее значение квазиспина в атомной плоскости  $n$ ;  $Z_\infty$  — его значение вдали от границы,

$$S_n = Z_n + \frac{A}{J} (Z_{n+1} + Z_{n-1}), \quad S_\infty = Z_\infty \left( 1 + \frac{2A}{J} \right), \quad (2)$$

где  $J$  — суммарная константа взаимодействия любого квазиспина со всеми соседями в плоскости, параллельной границе;  $A$  — константа взаимодействия с соседним спином в направлении, перпендикулярном границе;  $q = \Omega/J$ ;  $\Omega$  — константа туннелирования;  $s$  — боковая поверхность элементарной ячейки, параллельная плоскости стенки. Самосогласованные значения  $Z_n$  и  $Z_\infty$  определяются из условий минимальности  $\partial \gamma / \partial Z_n = 0$  и  $\partial \gamma / \partial Z_\infty = 0$  и подчиняются соответственно следующим уравнениям:

$$Z_n \sqrt{q^2 + S_n^2} = S_n \operatorname{th} \left( \frac{J \sqrt{q^2 + S_n^2}}{T} \right), \quad Z_\infty \sqrt{q^2 + S_\infty^2} = S_\infty \operatorname{th} \left( \frac{J \sqrt{q^2 + S_\infty^2}}{T} \right). \quad (3)$$

Разложение (1) в ряд по малым  $Z_n$  и  $Z_\infty$  до членов четвертой степени включительно с учетом разностного аналога для второй производной  $(Z_{n+1} - 2Z_n + Z_{n-1})/a^2 = d^2 Z/dx^2$ , где  $a$  — размер элементарной ячейки вдоль